

*П.П. ВОЛОСЕВИЧ, Е.И. ЛЕВАНОВ, Е.В. СЕВЕРИНА*

## МАТЕМАТИЧЕСКОЕ МОДЕЛИРОВАНИЕ ТЕПЛОПЕРЕНОСА В ДВИЖУЩЕЙСЯ СРЕДЕ С УЧЕТОМ РЕЛАКСАЦИИ ПОТОКА ТЕПЛА И ОБЪЕМНЫХ ИСТОЧНИКОВ ЭНЕРГИИ

При исследовании процессов теплопереноса во многих случаях плотность потока тепла представляется пропорциональной градиенту температуры (закон Фурье). Однако у закона Фурье есть свои рамки применимости: длина и время свободного пробега частиц должны быть малы по сравнению с характерными пространственными и временными масштабами изменения температуры. Далеко не во всех интересующих нас задачах это условие выполнимо, поэтому в данной работе предлагается изучать уравнение теплопереноса другого вида. В нем учитывается инерционный член, зависящий от производной потока по времени. Это в свою очередь приводит к изменению типа уравнения — оно станет гиперболическим, что может существенно изменить характер движения и переноса тепла (см., напр., [1]–[5] и библиографию в этих работах).

### 1. Анализ законов сохранения на фронте сильного разрыва

Пусть  $\rho$  — плотность среды,  $T$  — температура,  $p$  — давление,  $\varepsilon$  — удельная внутренняя энергия,  $v$  — скорость газа,  $r$  — переменная Эйлера,  $W$  — поток тепла,  $Q$  — мощность нелинейных объемных источников ( $Q > 0$ ) или стоков ( $Q < 0$ ) энергии. Уравнения газовой динамики запишем в массовых лагранжевых переменных  $m$  и  $t$  для случаев плоской ( $\nu = 0$ ), осевой ( $\nu = 1$ ) и сферической ( $\nu = 2$ ) симметрий соответственно:

$$\frac{\partial}{\partial t} \left( \frac{1}{\rho} \right) = \frac{\partial}{\partial m} (r^\nu v), \quad (1)$$

$$\frac{\partial v}{\partial t} = - \frac{\partial}{\partial m} (r^\nu p) + \nu \frac{p}{\rho r}, \quad (2)$$

$$\frac{\partial r}{\partial t} = v, \quad r = r(m, t), \quad (3)$$

$$\frac{\partial}{\partial t} \left( \varepsilon + \frac{1}{2} v^2 \right) = - \frac{\partial}{\partial m} (r^\nu (pv + W)) + \frac{Q}{\rho}, \quad (4)$$

$$W = -Kr^\nu \frac{\partial T}{\partial m} - \tau \frac{\partial W}{\partial t}. \quad (5)$$

В уравнении (5)  $K$  — коэффициент теплопроводности,  $\tau$  — время релаксации теплового потока. Будем считать справедливыми уравнения состояния идеального газа

$$p = R\rho T, \quad \varepsilon = \frac{RT}{\gamma - 1}, \quad (6)$$

где  $R$  — универсальная газовая постоянная,  $\gamma > 1$  — постоянное отношение удельных теплоемкостей. Решение уравнений (1)–(5) допускает сильные разрывы. Поэтому в общем случае

---

Работа выполнена при финансовой поддержке Российского фонда фундаментальных исследований (гранты №№ 02-01-00185, 02-01-00700).

они должны быть записаны в интегральной форме. Соответствующие интегральные уравнения получим аналогично ([6], с. 165–167) путем формального интегрирования системы (1)–(5) в окрестности разрыва.

Пусть  $m_j = m_j(t)$  — след поверхности разрыва искоемых величин в плоскости  $(m, t)$ , проходящий через точки с координатами  $A$  ( $m = m_1, t = t_1$ ) и  $C$  ( $m = m_2, t = t_2$ ), где  $m_2 = m_1 + \Delta m$ ,  $t_2 = t_1 + \Delta t$ , а  $\Delta m, \Delta t$  — малые величины. Построим прямоугольник  $ABCD$  со сторонами, параллельными осям координат. Интегрируя в пределах от  $m_1$  до  $m_2$  и от  $t_1$  до  $t_2$  уравнения (1)–(4), с учетом (6) получим

$$\int_{m_1}^{m_2} \left[ \left( \frac{1}{\rho} \right)_{t_2} - \left( \frac{1}{\rho} \right)_{t_1} \right] dm = \int_{t_1}^{t_2} [(r^\nu v)_{m_2} - (r^\nu v)_{m_1}] dt, \quad (7)$$

$$\int_{m_1}^{m_2} [(v)_{t_2} - (v)_{t_1}] dm = - \int_{t_1}^{t_2} [(r^\nu p)_{m_2} - (r^\nu p)_{m_1}] dt + \nu \int_{t_1}^{t_2} \int_{m_1}^{m_2} \frac{p}{r\rho} dm dt, \quad (8)$$

$$\int_{m_1}^{m_2} [(r)_{t_2} - (r)_{t_1}] dm = \int_{t_1}^{t_2} \int_{m_1}^{m_2} v dm dt, \quad (9)$$

$$\begin{aligned} & \int_{m_1}^{m_2} \left[ \left( \frac{RT}{\gamma-1} + \frac{v^2}{2} \right)_{t_2} - \left( \frac{RT}{\gamma-1} + \frac{v^2}{2} \right)_{t_1} \right] dm = \\ & = \int_{t_1}^{t_2} [((pv + W)r^\nu)_{m_2} - ((pv + W)r^\nu)_{m_1}] dt + \int_{t_1}^{t_2} \int_{m_1}^{m_2} \frac{Q}{\rho} dm dt. \end{aligned} \quad (10)$$

Интегральное уравнение, соответствующее (5) при  $\tau = 0$  (закон Фурье), представим в виде

$$\int_{t_1}^{t_2} [(T)_{m_2} - (T)_{m_1}] dt = - \int_{t_1}^{t_2} \int_{m_1}^{m_2} \frac{W}{Kr^\nu} dm dt. \quad (11)$$

При учете релаксации теплового потока ( $\tau \neq 0$ ), интегрируя (5), можно записать

$$\int_{m_1}^{m_2} [(W)_{t_2} - (W)_{t_1}] dm = - \int_{t_1}^{t_2} \int_{m_1}^{m_2} \frac{Kr^\nu \partial T}{\tau \partial m} dm dt - \int_{t_1}^{t_2} \int_{m_1}^{m_2} \frac{W}{\tau} dm dt. \quad (12)$$

Рассмотрим сначала уравнения (7)–(10). Следуя [6], воспользуемся теоремой о среднем для каждого слагаемого рассматриваемых уравнений. Пусть  $t_*, t_{**}, \tilde{t}, m_*, m_{**}, \tilde{m}$  — средние значения аргументов  $m, t$ , находящиеся между значениями  $m_1$  и  $m_2, t_1$  и  $t_2$  соответственно. Тогда, например, уравнение энергии (10) примет вид

$$\begin{aligned} & \left[ \left( \frac{RT}{\gamma-1} + \frac{v^2}{2} \right)_{t_2 m_{**}} - \left( \frac{RT}{\gamma-1} + \frac{v^2}{2} \right)_{t_1 m_*} \right] \Delta m = \\ & = - [((W + pv)r^\nu)_{t_{**} m_2} - ((W + pv)r^\nu)_{t_* m_1}] \Delta t + \left( \frac{Q}{\rho} \right)_{\tilde{m}} \Delta m \Delta t. \end{aligned}$$

Аналогично получим соотношения, соответствующие (7)–(9). Переходя к пределу при  $\Delta m \rightarrow 0$  и  $\Delta t \rightarrow 0$  и обозначая индексом 1 значения функции перед фронтом разрыва, а индексом 2 — за фронтом разрыва, получим

$$r_2 = r_1, \quad (13.1)$$

$$\left( \frac{1}{\rho_2} - \frac{1}{\rho_1} \right) \frac{D_m}{r_1^\nu} = v_1 - v_2, \quad (13.2)$$

$$(v_2 - v_1) \frac{D_m}{r_1^\nu} = p_2 - p_1, \quad (13.3)$$

$$\left( \frac{RT_2}{\gamma-1} + \frac{v_2^2}{2} - \frac{RT_1}{\gamma-1} - \frac{v_1^2}{2} \right) \frac{D_m}{r_1^\nu} = p_2 v_2 - p_1 v_1 + W_2 - W_1, \quad (13.4)$$

где  $D_m$  — массовая лагранжева скорость распространения фронта разрыва

$$D_m = \lim_{\Delta t \rightarrow 0} \frac{\Delta m}{\Delta t} = \frac{dm_j}{dt}. \quad (14)$$

Пусть  $\theta = \frac{\rho_1}{\rho_2}$ . Из (6) выразим температуру  $T = \frac{p}{R\rho}$  и, используя введенные обозначения, проведем ряд преобразований, в результате которых соотношения (13) можно записать в виде

$$v_2 = v_1 + (1 - \theta) \frac{D_m}{r_1^\nu \rho_1}, \quad (15.1)$$

$$p_2 = p_1 + (1 - \theta) \frac{D_m^2}{r_1^{2\nu} \rho_1}, \quad (15.2)$$

$$T_2 = T_1 \theta + \theta(1 - \theta) \frac{D_m^2}{r_1^{2\nu} R \rho_1^2}, \quad (15.3)$$

$$W_2 = W_1 + \frac{D_m^3}{2r_1^{3\nu} \rho_1^2} (1 - \theta) \left[ \frac{\gamma + 1}{\gamma - 1} \theta - \left( 1 + \frac{2\gamma \rho_1 p_1 r_1^{2\nu}}{(\gamma - 1) D_m^2} \right) \right]. \quad (15.4)$$

При  $W = 0$  из (15.4) получим известное в газовой динамике выражение для отношения плотностей при переходе через сильный разрыв

$$\frac{\rho_2}{\rho_1} = \frac{1}{\theta} = \frac{\gamma + 1}{\gamma - 1 + \frac{2C_{\gamma 1}^2 r_1^{2\nu}}{D_m^2}}, \quad (16)$$

где  $C_{\gamma 1} = \rho_1 \sqrt{\frac{\gamma p_1}{\rho_1}}$  — массовая газодинамическая скорость звука перед фронтом ударной волны, записанная для уравнения состояния идеального газа (6). В случае, когда ударная волна распространяется по “нулевому начальному фону”

$$v = v_1 = 0, \quad p = p_1 = 0, \quad T = T_1 = 0, \quad W = W_1 = 0, \quad \rho = \rho_1 = \text{const}, \quad (17)$$

из (15), (16) получим часто используемые выражения условий Гюгионо на фронте газодинамической ударной волны

$$\frac{\rho_2}{\rho_1} = \frac{1}{\theta} = \frac{\gamma + 1}{\gamma - 1}, \quad v_2 = \frac{2}{\gamma + 1} \frac{D_m}{r_1^\nu \rho_1}, \quad p_2 = \frac{2}{\gamma + 1} \frac{D_m^2}{r_1^{2\nu} \rho_1}, \quad T_2 = \frac{2(\gamma - 1)}{(\gamma + 1)^2} \frac{D_m^2}{r_1^{2\nu} \rho_1^2 R}, \quad W_2 = 0. \quad (18)$$

При  $W \neq 0$ , но  $\tau = 0$ , используя (11), теорему о среднем и переход к пределам  $\Delta m \rightarrow 0$ ,  $\Delta t \rightarrow 0$ , получим равенство температур справа и слева от разрыва

$$T_1 = T_2. \quad (19)$$

В этом случае сильный разрыв является изотермическим [7]–[9]. Из (15) получим соотношения

$$\frac{\rho_2}{\rho_1} = \frac{1}{\theta} = \frac{D_m^2}{r_1^{2\nu} C_{i1}^2}, \quad (20.1)$$

$$v_2 = v_1 + (1 - \theta) \frac{D_m}{r_1^\nu \rho_1}, \quad (20.2)$$

$$p_2 = \frac{p_1}{\theta}, \quad (20.3)$$

$$W_2 = W_1 - \frac{D_m^3}{2r_1^{3\nu} \rho_1^2} (1 - \theta^2). \quad (20.4)$$

Здесь  $C_{i1} = \rho_1 \sqrt{RT_1}$  — массовая изотермическая скорость звука впереди фронта разрыва.

Пусть теперь  $W \neq 0$ ,  $\tau \neq 0$ . При произвольных значениях функций  $K$  и  $\tau$  уравнение (5) записано в недивергентном виде. Предположим, что теплофизические величины  $K$  и  $\tau$  либо постоянны при  $\nu = 0$ , либо зависят от температуры  $K = K(T)$ ,  $\tau = \tau(T)$ . Аналогично [10]

рассмотрим функцию  $V = V(T) = V(T(m, t)) = \tilde{V}(m, t)$ . Очевидно, можно записать  $\frac{\partial}{\partial m} \tilde{V} = \frac{dV}{dT} \frac{\partial T}{\partial m}$ . Положим

$$\frac{dV}{dT} = \frac{K(T)}{\tau(T)} r^\nu. \quad (21)$$

Формула (21) определяет функцию  $V(T) = \tilde{V}(m, t)$  через заданные значения теплофизических величин  $K(T)$  и  $\tau(T)$ . Используя уравнение (12) с учетом (21), после ряда преобразований, аналогичных изложенным выше, получим соотношение

$$(W_2 - W_1)D_m = \tilde{V}_2 - \tilde{V}_1. \quad (22)$$

Формулы (15), (22) выражают законы сохранения при учете релаксации плотности потока тепла на фронте температурной ударной волны в случае постоянных или зависящих от температуры функций  $K$  и  $\tau$ . Пусть

$$K = K_0 T^{a_0}, \quad \tau = \tau_0 T^{a_1}. \quad (23)$$

Из (21), (23) при  $a_0 - a_1 + 1 \neq 0$  будем иметь

$$\tilde{V}_j = \frac{K_0}{\tau_0} \frac{T_j^{a_0 - a_1 + 1}}{a_0 - a_1 + 1} r_1^\nu, \quad j = 1, 2. \quad (24)$$

Используя (15.4) и (22), с учетом (24) получим уравнение, определяющее отношение плотностей  $\theta = \frac{\rho_1}{\rho_2}$ ,

$$(1 - \theta) \left[ \theta - \frac{\gamma - 1}{\gamma + 1} \left( 1 + \frac{2\gamma R T_1 \rho_1^2 r_1^{2\nu}}{(\gamma - 1) D_m^2} \right) \right] = \frac{2K_0(\gamma - 1)\rho_1^2 r_1^{4\nu}}{\tau_0(\gamma + 1)(a_0 - a_1 + 1)D_m^4} \left[ \left( T_1 \theta + \theta(1 - \theta) \frac{D_m^2}{R \rho_1^2 r_1^{2\nu}} \right)^{a_0 - a_1 + 1} - T_1^{a_0 - a_1 + 1} \right]. \quad (25)$$

Выпишем уравнение (25) для случая газодинамической тепловой ударной волны, распространяющейся по нулевому начальному фону (17):

$$\theta - \frac{\gamma - 1}{\gamma + 1} = A_0 \theta^{a_0 - a_1 + 1} (1 - \theta)^{a_0 - a_1}, \quad (26)$$

где  $A_0 = \frac{2(\gamma - 1)K_0}{(\gamma + 1)(a_0 - a_1 + 1)\tau_0} D_m^{2(a_0 - a_1 - 1)} r_1^{-2\nu(a_0 - a_1 - 1)} R^{-a_0 + a_1 - 1} \rho_1^{-2(a_0 - a_1)} > 0$ .

Покажем, что при  $a_0 - a_1 + 1 > 0$  уравнение (26) имеет хотя бы один действительный корень. Для этого сравним левую ( $y_1 = \theta - \frac{\gamma - 1}{\gamma + 1}$ ) и правую ( $y_2 = A_0 \theta^{a_0 - a_1 + 1} (1 - \theta)^{a_0 - a_1}$ ) части соотношения (26). Так как  $0 \leq \theta \leq 1$ , то при  $a_0 - a_1 + 1 > 0$  функция  $y_2 = y_2(\theta)$  целиком находится в области  $y \geq 0$ ,  $\theta \geq 0$ . Ее производная  $\frac{dy_2}{d\theta} = \theta^{a_0 - a_1} (1 - \theta)^{a_0 - a_1 + 1} [a_0 - a_1 + 1 - (2(a_0 - a_1) + 1)\theta]$  обращается в нуль при  $\theta = 0$ ,  $\theta = \frac{a_0 - a_1 + 1}{2(a_0 - a_1) + 1}$ ,  $\theta = 1$ . Функция  $y = y_2(\theta)$  при  $\theta \rightarrow 0$  стремится к нулю пропорционально  $\theta^{a_0 - a_1 + 1}$  и линейна в окрестности  $\theta = 1$ . Сравнение ее с положительной частью прямой  $y = y_1$ , расположенной в области  $\theta > \frac{\gamma - 1}{\gamma + 1}$ , показывает, что функции  $y = y_1(\theta)$  и  $y = y_2(\theta)$  пересекаются при некотором действительном значении  $\theta = \theta_k$ ,  $\frac{\gamma - 1}{\gamma + 1} < \theta_k < 1$ .

Рассмотрим теперь ряд характерных свойств теплопереноса в релаксационных средах при некоторых конкретных значениях параметров  $a_0$  и  $a_1$ , ограничиваясь случаем  $\nu = 0$  (плоская симметрия).

1. Пусть  $a_0 = a_1$ . В этом случае из (26) следует, что скачок плотностей на фронте тепловой ударной волны можно представить в виде

$$\frac{1}{\theta} = \frac{\rho_2}{\rho_1} = \frac{\gamma + 1}{\gamma - 1} \left( 1 - \frac{2(\gamma - 1)K_0}{(\gamma + 1)\tau_0 R D_m^2} \right). \quad (27)$$

Подставляя в (27) известное выражение массовой лагранжевой скорости распространения тепла при  $\tau \neq 0$  (напр., [1], [2], [5])

$$C_T = \sqrt{\frac{(\gamma - 1)K}{R\tau}}, \quad (28)$$

получим

$$\frac{\rho_2}{\rho_1} = \frac{\gamma + 1}{\gamma - 1} \left( 1 - \frac{2C_T^2}{(\gamma + 1)D_m^2} \right). \quad (29)$$

Так как  $\rho_2 > \rho_1$ , то из (29) получим

$$D_m > C_T. \quad (30)$$

Неравенство (30) означает, что массовая скорость движения фронта газодинамической ударной волны больше характерной скорости распространения релаксационных тепловых возмущений.

Выше речь шла о переносе тепла в движущейся среде. При  $v_2 = v_1 = 0$ ,  $\rho = \rho_1 = \rho_2 = \text{const}$ , но  $T_1 \neq 0$ ,  $W_1 \neq 0$  закон сохранения энергии имеет вид (13.4)

$$W_2 - W_1 = \frac{R}{\gamma - 1} (T_2 - T_1) D_m. \quad (31)$$

Для случая неподвижной среды из формул (22), (24) при  $a_0 = a_1$  получим

$$D_m(W_2 - W_1) = \widetilde{V}_2 - \widetilde{V}_1 = \frac{K_0}{\tau_0} (T_2 - T_1). \quad (32)$$

Умножая далее левую часть (31) на  $D_m$  и сравнивая полученную при этом формулу с (32), при  $T_1 \neq T_2$  будем иметь равенство  $D_m = C_T$ . Таким образом, в отличие от предыдущего случая, в неподвижной среде скорости распространения фронта разрыва и скорости теплопереноса при учете релаксации теплового потока совпадают.

2. Пусть теперь  $a_0 - a_1 = 1$ , что справедливо, например, для случая полностью ионизированного газа:  $a_0 = \frac{5}{2}$ ,  $a_1 = \frac{3}{2}$  (см. [11]). При  $a_0 - a_1 = 1$  уравнение (26) принимает вид

$$\theta - \frac{\gamma - 1}{\gamma + 1} = A_0 \theta^2 (1 - \theta), \quad (33)$$

где  $A_0 = \frac{(\gamma - 1)K_0}{(\gamma + 1)\tau_0 R^2 \rho_1^2}$ . Уравнение (33) является кубическим, имеет единственный действительный корень. Формулу (33) аналогично предыдущему можно записать в виде отношения плотностей  $\frac{\rho_2}{\rho_1} = \frac{1}{\theta}$ , выраженного через параметры  $C_T$  и  $D_m$ :  $\frac{\rho_2}{\rho_1} = \frac{1}{\theta} = \frac{\gamma + 1}{\gamma - 1} \left( 1 - \frac{C_T^2}{(\gamma + 1)D_m^2} \right)$ . Из условия  $\rho_2 > \rho_1$  следует  $D_m^2 > \frac{1}{2}C_T^2$ .

3. Очевидно, что в общем случае  $a_0 - a_1 + 1 > 0$ ; используя выражения  $T_2 = \theta(1 - \theta) \frac{D_m^2}{R\rho_1^2}$ ,  $C_T^2 = \frac{(\gamma - 1)K_0}{R\tau_0} T_2^{a_0 - a_1}$ , соотношение (26) можно представить в виде отношения плотностей  $\frac{\rho_2}{\rho_1} = \frac{1}{\theta} = \frac{\gamma + 1}{\gamma - 1} \left( 1 - \frac{2C_T^2}{(\gamma + 1)(a_0 - a_1 + 1)D_m^2} \right)$ . Из условия  $\rho_2 > \rho_1$  получим для движущейся среды неравенство  $D_m^2 > \frac{1}{a_0 - a_1 + 1} C_T^2$ .

## 2. Два сильных разрыва в случае $\tau \neq 0$

Одним из замечательных свойств теплопереноса в движущейся среде с учетом релаксации потока является существование при заданных краевых условиях двух сильных разрывов (напр., [1], [2], [4], [12]). Указанный факт связан с наличием при  $\tau \neq 0$  двух различных скоростей звука.

В случае  $W = 0$  характерной скоростью движения нелинейной среды является *газодинамическая* скорость звука. Соответствующая массовая скорость представлена выше в виде формулы  $C_\gamma = \rho\sqrt{\gamma RT}$ , справедливой для случая идеального газа. Со скоростью  $C_\gamma$  связана *классическая* ударная волна (см. формулы (15), (16), (18)).

При  $W \neq 0$ , но  $\tau = 0$ , определяющей является *изотермическая* скорость звука. В случае идеального газа (6) массовая скорость выражается формулой  $C_i = \rho\sqrt{RT} = \rho\sqrt{\frac{p}{\rho}}$ . Упомянутая выше скорость распространения тепла вида (28) при  $\tau = 0$  равна бесконечности. При  $\tau = 0$ , нулевом начальном фоне ( $T(m, 0) = v(m, 0) = W(m, 0) = 0$ ) и  $\frac{\partial K}{\partial T} > 0$  существуют температурные волны, распространяющиеся с конечной скоростью. Это связано с тем, что при  $K = 0$ , но бесконечном или конечном и отличном от нуля градиенте температуры, тепловой поток на фронте волны обращается в нуль. При этом в окрестности фронта температурной волны газодинамические и тепловые величины непрерывны [7]–[9]. В глубине фронта волны существует изотермический разрыв (см. формулы (19), (20)).

Если  $W \neq 0$  и  $\tau \neq 0$ , то отличны от нуля и бесконечности обе скорости звука, как  $C_i$ , так и  $C_T$ . В [12] отмечено, что при  $W \neq 0$  и  $\tau \neq 0$  уравнения для характеристик системы (1)–(5) определяются формулами

$$\frac{dm}{dt} = \lambda_n, \quad n = 1, 2.$$

Параметры  $\lambda_1$  и  $\lambda_2$  имеют смысл скоростей распространения малых возмущений и слабых разрывов, они выражаются через скорости звука  $C_i$  и  $C_T$ :

$$\lambda_1^2 = \frac{C_T^2 + \gamma C_i^2 + \sqrt{(C_T^2 - \gamma C_i^2)^2 + 4(\gamma - 1)C_T^2 C_i^2}}{2},$$

$$\lambda_2^2 = \frac{C_T^2 + \gamma C_i^2 - \sqrt{(C_T^2 - \gamma C_i^2)^2 + 4(\gamma - 1)C_T^2 C_i^2}}{2}.$$

При  $W \neq 0$  и  $\tau \neq 0$  существует температурная ударная волна, причем их может быть две. На рис. 1 для случая  $\tau \neq 0$  приведены некоторые результаты автомодельного решения системы уравнений (1)–(5) при нестационарном граничном условии для задачи о поршне с заданным на нем температурным режимом и степенными законами  $K = K(T, \rho)$ ,  $\tau = \tau(T, \rho)$ . Предполагалось, что начальная плотность среды постоянна и имеют место нулевые значения остальных величин. Соответствующие условия автомодельности приведены в [4]. В данной работе теплофизические параметры были заданы степенными функциями вида  $K = K_0 T^{\frac{5}{2}} \rho$ ,  $\tau = \tau_0 T^{\frac{3}{2}} \rho^{-1}$ . Решение строилось с помощью численных методов. При этом “размазывание” разрывов осуществлялось с помощью обычной классической псевдовязкости [13], используемой в газовой динамике и в случае  $W = 0$ .

На рис. 1 представлены безразмерные профили температуры ( $f$ ), удельного объема ( $1/\delta$ ) и скорости ( $\alpha$ ) в зависимости от “автомодельной переменной  $s$ ”. Четко просматриваются следующие друг за другом две температурные ударные волны. Анализ показывает, что с увеличением параметра  $\tau_0$  (см. рис. 1a) и 1b)) уменьшается расстояние между граничным источником (поршнем) и обоими фронтами ударных волн.

Как известно, при  $\tau = 0$  существуют различные режимы теплопереноса в движущейся среде — режимы температурной волны первого рода (ТВ-1) и температурной волны второго рода (ТВ-2) (см. [8], [9] и библиографию в этих работах).

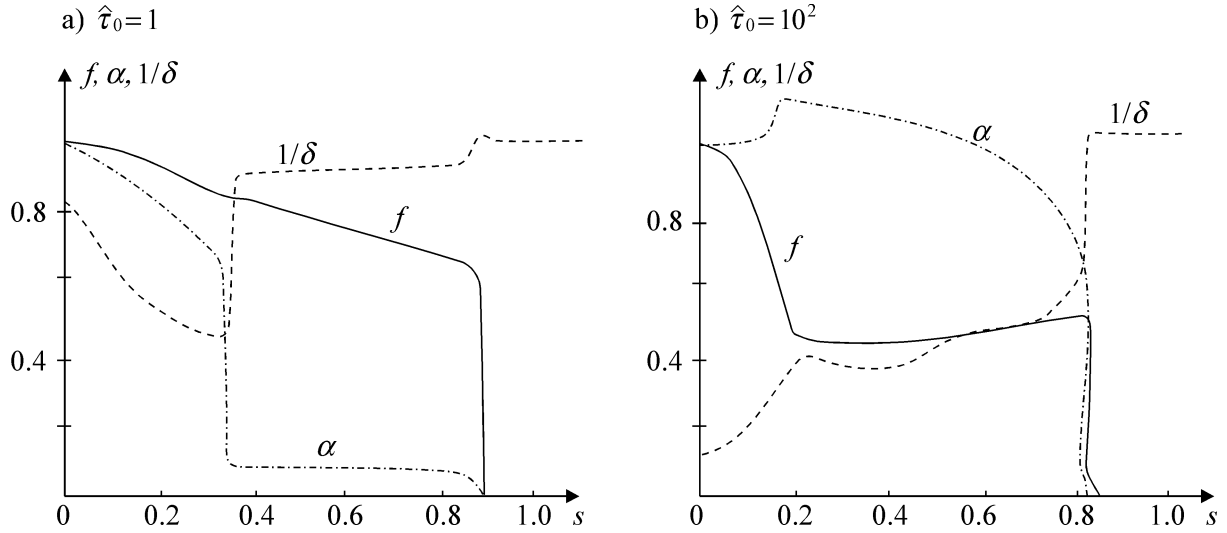


Рис. 1

Для режима ТВ-1 характерным является монотонность профиля функции температуры  $f = f(s)$ . В глубине фронта тепловой волны в некоторой точке имеет место изотермический разрыв. Расстояние между фронтом температурной волны в случае  $\tau = 0$  и изотермическим разрывом может быть различным, что в зависимости от параметров задачи характеризует глубину прогрева вещества в режиме ТВ-1. В режиме ТВ-2 температура немонотонна. Основная область прогрева находится позади волны сжатия и изотермического разрыва.

По аналогии со случаем  $\tau = 0$  можно сказать, что при  $\tau$ , отличном от нуля, на рис. 1а) представлено распределение искомых величин, характерное для режима ТВ-1. Вторым разрывом может служить аналогом изотермического разрыва в глубине фронта температурной волны. С увеличением параметра  $\tau_0$ , а следовательно, с уменьшением эффективной скорости распространения тепла, условно можно сказать, что ТВ-1 переходит в режим ТВ-2 (см. рис. 1б)). При этом фронт волны прогрева в режиме ТВ-2 соответствует внутреннему разрыву тепловых и газодинамических величин.

### 3. Оценка влияния объемных источников и стоков энергии на исследуемые процессы

Описанные выше расчеты были также проведены с учетом объемного источника (стока) энергии степенного вида  $Q = Q_0 T^{\frac{1}{2}} \rho^{-1}$  при различных значениях параметра  $Q_0$ . Анализ и вычислительные эксперименты показали, что с изменением  $Q$  возможен переход от монотонного распределения температуры по пространственной координате  $m$  к немонотонному. Аналогичную тенденцию может иметь и пространственное распределение плотности.

Анализ влияния объемных источников и стоков энергии на процесс теплопереноса проводился для случая  $\tau = 0$  в [14] и при  $\tau \neq 0$  в [4]. В обоих случаях нелинейная среда предполагалась неподвижной. В случае  $\tau = 0$  решение является непрерывным, а при  $\tau \neq 0$  имеет разрыв температуры и потока тепла. Анализ проводился с помощью решения задачи о бегущих волнах, т. е. в предположении, что искомые функции зависят от  $m$  и  $t$  в комбинации  $x = Dt - m$ , где  $D = \text{const}$  — скорость бегущей волны. Коэффициент теплопроводности, время релаксации теплового потока и мощность источников и стоков энергии рассматривались степенными функциями температуры  $K = K_0 T^{a_0}$ ,  $\tau = \tau_0 T^{a_1}$ ,  $Q = Q_0 T^{a_2}$ . Считалось, что фронт бегущей волны находится в точке  $x = 0$  ( $m = Dt$ ). Перед фронтом ( $x = 0$ ) задаются нулевые условия  $T = 0$ ,  $W = 0$ . Зависимость процесса переноса тепла от характера изменения объемного источника (стока) энергии, в приведенных выше предположениях, представлена на рис. 2.

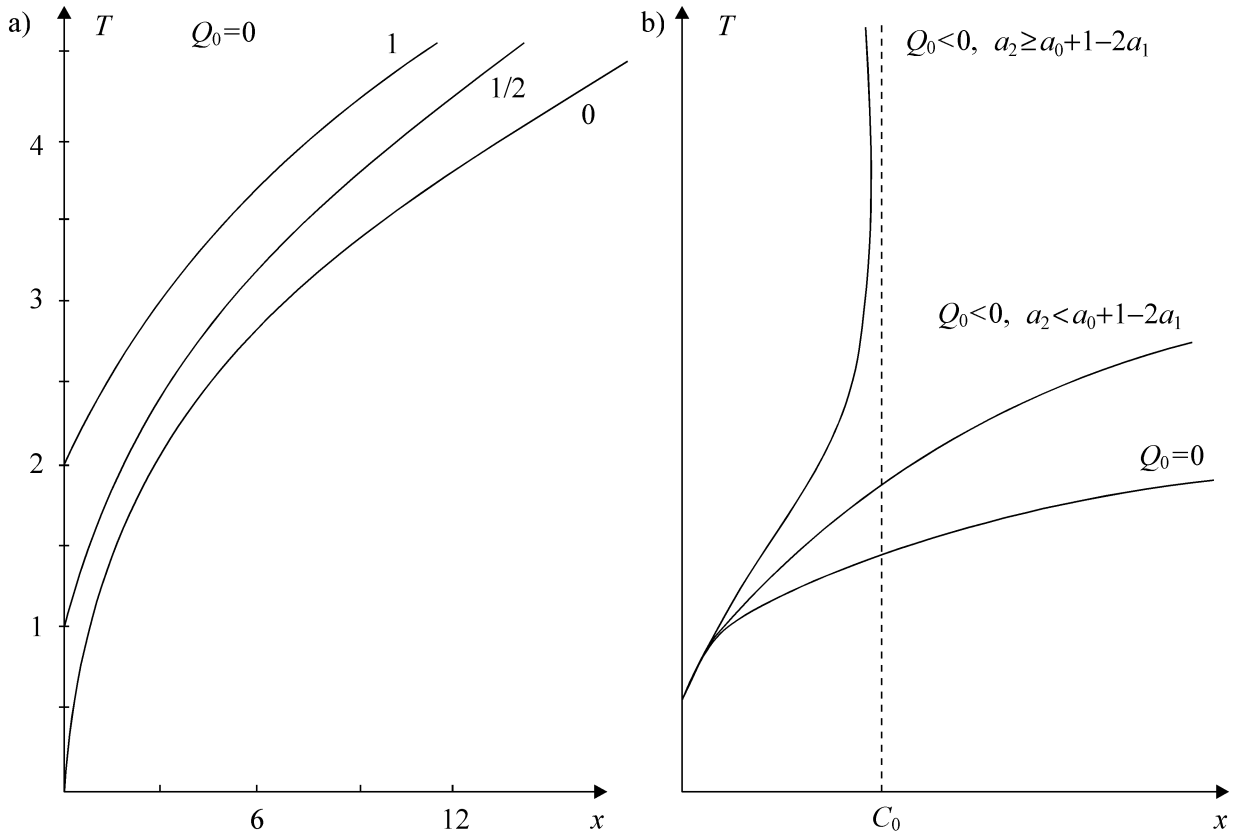


Рис. 2

На рис. 2а) для случая  $Q_0 = 0$  приведены примеры распространения бегущих волн по переменной  $x = Dt - m$  для случаев  $a_0 = \frac{5}{2}$ ,  $a_1 = \frac{3}{2}$ , при фиксированном значении  $K_0 = 1$  и различных значениях множителя  $\tau_0 = 0, \frac{1}{2}, 1$ , отмеченных цифрами на кривых. При постановке задачи предполагалось, что скорость фронта бегущей волны и его положение ( $x = 0$ ) совпадают со скоростью и расположением фронта разрыва тепловой волны. При  $\tau_0 = 0$  решение непрерывно, на фронте имеем  $T(0) = 0$ . При  $\tau_0$ , отличных от нуля, имеет место разрыв. Решение построено в аналитической форме.

На рис. 2б) представлен качественный характер изменения функции  $T=T(x)$  при  $Q \leq 0$ . Анализ показывает, что в случае  $Q_0 < 0$  (в рассматриваемой среде существуют объемные потери энергии), решение типа бегущей волны существует во всей области изменения  $x \geq 0$ , если выполняется неравенство  $a_2 < a_0 + 1 - 2a_1$ . В противном случае решение задачи о бегущей волне оказывается физически непротиворечивым лишь на конечном интервале изменения  $0 \leq x \leq C_0$  и, следовательно, конечном промежутке времени. При некотором значении  $x = C_0$  имеем  $T = \infty$ .

Если  $Q > 0$  (существуют объемные источники энергии), то при любых значениях показателей зависимости  $T, \tau, Q$  от температуры решение типа бегущей волны существует лишь конечное время.

## Литература

1. Косарев В.И., Леванов Е.И., Сотский Е.Н. *Об одном способе описания процесса электронной теплопроводности в высокотемпературной плазме* // Препринт № 142 ИПМ им. М.В. Келдыша АН СССР. – М, 1981. – 25 с.
2. Леванов Е.И., Сотский Е.Н. *Теплоперенос с учетом релаксации теплового потока. Математическое моделирование. Нелинейные дифференциальные уравнения математической физики*. – М: Наука, 1987. – С. 155–190.



3. Бурханов Е.М., Лютиков Е.Н., Медин С.А. *Гиперболическая теплопроводность и второй закон термодинамики* // Препринт № 2-462 ОИВТ РАН институт теплофизики экстремальных состояний. – М., 2002. – 28 с.
4. Волосевич П.П., Леванов Е.И. *Анализ процессов теплопереноса с учетом в среде релаксации теплового потока и объемных источников энергии* // Изв. вузов. Математика. – 2003. – № 1. – С. 38–44.
5. Шабловский О.Н. *Релаксационный процесс в нелинейных средах*. – Гомель: Изд-во Гомельск. гос. техн. ун-та им. П.О. Сухого, 2003. – 382 с.
6. Тихонов А.Н., Самарский А.А. *Уравнения математической физики*. – М: Изд-во Московск. гос. ун-та, 1999. – 798 с.
7. Зельдович Я.Б., Райзер Ю.П. *Физика ударных волн и высокотемпературных гидродинамических явлений*. – М: Наука, 1966. – 686 с.
8. Волосевич П.П., Леванов Е.И. *Автомоделные решения задач газовой динамики и теплопереноса*. – М: Изд-во МФТИ, 1997. – 240 с.
9. Волосевич П.П., Леванов Е.И., Фетисов С.А. *Автомоделные решения задач нагрева и динамики плазмы*. – М: Изд-во МФТИ, 2001. – 256 с.
10. Шабловский О.Н. *Распространение плоской ударной тепловой волны в нелинейной среде* // Инженеро-физический журнал. – 1985. – Т. 49. – № 3. – С. 499–500.
11. Спитцер Л. *Физика полностью ионизированного газа*. – М: Мир, 1965. – 212 с.
12. Леванов Е.И., Сотский Е.Н. *О бегущих волнах в среде с теплопроводностью гиперболического типа* // Препринт № 193 ИПМ им. М.В. Келдыша АН СССР. – М, 1982. – 27 с.
13. Самарский А.А., Попов Ю.П. *Разностные методы решения задач газовой динамики*. – М: Наука, 1980. – 350 с.
14. Волосевич П.П., Ларионов Е.А., Леванов Е.И. *Бегущие тепловые волны в высокотемпературной среде* // Тр. 4-й междунардн. конф. по матем. моделир. – М: Изд-во Станкин, 2001. – С. 112–120.

*Институт математического  
моделирования  
Российской Академии наук*

*Поступила  
28.05.2004*